

بررسی توزیع اندازه‌ی دانه حین رشد دانه در فولادهای زنگ نزن

* ۳۲۱، ۳۰۴H، ۳۱۶L و آستانیتی

جواد راستی^(۱)

چکیده

توزیع اندازه‌ی دانه حین رشد دانه در فولادهای زنگ نزن آستانیتی به سه روش مقطع‌زنی متواالی، شبیه سازی سه بعدی مونت کارلو و مدل ابراز-لوک بررسی شد. نتایج نشان دادند که توزیع حجمی دانه‌ها در تعداد کم دانه بر توزیع نرمال لگاریتمی منطبق است، در حالی که برای تعداد زیاد دانه بر توزیع گاما منطبق می‌باشد. رشد غیر عادی دانه در فولاد ۳۰۴H حین تاب کاری رخ داد، و این می‌تواست ناشی از حضور رسوب کاربید کرم بر روی مرز دانه‌ها درون ساختار اولیه باشد. جدایش حاصل از انجalam این کاربیدها، تحرک مرز دانه را کاهش داد. در این فولاد با تخمین غلاظت کرم در مرز دانه، رابطه‌ای زمانی برای تحرک مرز دانه به دست آمد. روشی هم برای یافتن درصد خطای تعیین اندازه‌ی دانه در سطح مقطع متالوگرافی ارائه شد.

واژه‌های کلیدی رشد دانه، توزیع اندازه‌ی دانه، فولادهای زنگ نزن آستانیتی، تحرک مرز دانه.

Evaluation of Grain Size Distribution during Grain Growth in AISI 304H, 316L and 321 Austenitic Stainless Steels

J. Rasti

Abstract

Grain size distribution during grain growth in austenitic stainless steels was investigated using three different methods, namely serial sectioning analysis, 3D Monte Carlo simulation, and Abbruzzese-Lucke statistical approach. The results showed that the volumetric grain distribution can be well estimated by the log-normal and gamma distribution models for the low and high number of grains, respectively. The abnormal grain growth was taken place in 304H steel during annealing, probably due to the presence of chromium carbide on the grain boundaries within the initial microstructure. The segregation resulted from dissolution of these carbides decreased the grain boundary mobility. A time-dependent equation was obtained for the mobility of grain boundary in this steel after the estimation of chromium content in the grain boundary areas. Moreover, a method was introduced for quantitative evaluation of the error during the measurement of grain size using the metallographic cross sections.

Key Words Grain growth, Grain size distribution, Austenitic stainless steel, Grain boundary mobility.

* نسخه‌ی نخست مقاله در تاریخ ۸۹/۱۱/۳۰ و نسخه‌ی پایانی آن در تاریخ ۸۸/۲/۲۴ به دفتر نشریه رسیده است.

(۱) نویسنده‌ی مسئول: عضو هیئت علمی دانشگاه آزاد اسلامی، واحد نراق

مقاله برای نمایش مقدار میانگین استفاده شده است.

مطابق با روش جنسن و گاندرسن، [10] می‌توان حجم میانگین (V_v) و ضریب انحراف (CV_v) را با استفاده از یک مقطع متالوگرافی به دست آورد. دانه‌ها در این روش به وسیله‌ی رأس‌های یک شبکه‌ی مریع انتخاب می‌شوند. مساحت این دانه‌ها (a) و طول خط افقی عبور داده شده از نقطه‌های درون دانه‌ی (l) اندازه‌گیری شده و رابطه‌های زیر به دست می‌آیند:

$$\langle V_v \rangle = \frac{\pi}{3} \langle l^3 \rangle \quad (2)$$

$$CV_v = \left[\frac{36k \langle a^3 \rangle}{\pi \langle l^3 \rangle^2} - 1 \right]^{1/2} \quad (3)$$

k ثابتی است که به شکل دانه‌ها وابسته است و مقدار آن بین ۰/۰۷۱ تا ۰/۰۸۳ تغییر می‌کند. در تحقیق حاضر از مقدار متوسط ۰/۰۷۷ استفاده شده است.

با محاسبه‌ی $\langle V_v \rangle$ و CV_v به روش فوق، $\langle V_N \rangle$ و عوامل مربوط به توابع توزیع را می‌توان با استفاده از رابطه‌های جدول (۲) به دست آورد.

روش‌های مدل‌سازی زیر می‌توانند توزیع حجمی دانه‌ها را تعیین کنند. در این تحقیق از روش مدل‌سازی سه بعدی مونت‌کارلو و مدل آماری ابراز-لوک، [12,13] استفاده شده است. در روش اخیر، فرض بر این است که دانه‌ها از نقطه نظر اندازه شامل توزیعی از n گروه هستند و هر گروه دارای n_i دانه با شاعع معادل R_i می‌باشد. با این قرض، رابطه‌ی زیر برای رشد دانه پیشنهاد شده است [12]:

$$\frac{dR_i}{dt} = M \sum_{j=1}^n P_{i,j} S_j, \quad P_{i,j} = 2\gamma \left(\frac{1}{R_j} - \frac{1}{R_i} \right) \quad (4)$$

در این رابطه‌ها، γ انرژی سطحی مرز دانه و R_i شاعع معادل دانه‌ی i است. M نیز تحرک (Mobility) مرز دانه است که از رابطه‌ی زیر محاسبه می‌شود:

$$M = M_0 \exp \left(-\frac{Q_{gb}}{RT} \right) \quad (5)$$

مقدمه

اندازه دانه و یکنواختی توزیع آن از جمله مهم‌ترین ویژگی‌های ریزساختاری فولادهای زنگ نزن آستینتی هستند، و تأثیر بارزی بر خواص مکانیکی آن‌ها دارند [1,2]. توزیع حجمی دانه‌ها معمولاً به دو روش بررسی می‌شود: برآورده کسر حجمی دانه‌های متعلق به یک محدوده حجمی باریک، (The volume $f_v(v)$) weighted distribution of grain volume) تعداد نسبی دانه‌های متعلق به یک محدوده حجمی باریک، (The number-weighted distribution $f_N(v)$) of grain volume) [3]. پنج رابطه برای روش دوم پیشنهاد شده است، و این رابطه‌ها در جدول (۱) آورده شده‌اند. در این رابطه‌ها، از حجم و یا حجم نرماله شده است (نسبت حجم دانه به حجم میانگین) استفاده شده است [3-8]. در اغلب موارد تابع توزیع هیلتون با داده‌های تجربی تطبیق خوبی ندارد [6]. تابع لوت یا ریلی نیز حالت خاصی از تابع ویل با $\beta=2$ است [7]. به این ترتیب، سه تابع توزیع نرمال لگاریتمی، ویل و گاما در این تحقیق برای مقایسه با داده‌های تجربی استفاده شدند.

یکنواختی اندازه دانه‌ها را می‌توان با وارینس یا انحراف معیار حجم دانه‌ها بررسی کرد. اما اغلب انحراف معیار نسبت به اندازه یا حجم میانگین نرماله می‌شود. در این صورت، آن را ضریب انحراف (CV) نامیده و به صورت Coefficient of variation)

تعریف می‌شود [9]:

$$\bar{x} = \langle x \rangle = \sum x_i / N$$

$$\sigma_x = \sqrt{\frac{\sum (x_i - \bar{x})^2}{N}} = \sqrt{\langle x^2 \rangle - \langle x \rangle^2} \quad (1)$$

$$CV_x = \sigma_x / \bar{x}$$

که در آن، x شاعع یا حجم دانه، \bar{x} مقدار میانگین x ، σ_x انحراف معیار می‌باشد. از علامت $\langle \rangle$ در این

جدول ۱ رابطه‌های آماری توزیع اندازه‌ی دانه برای (v)

اطلاعات بیشتر	تابع	نام تابع
A و B بهتر تب انحراف معیار و میانگین لگاریتمی حجم نرماله شده (v) هستند	$f(v) = \frac{1}{A v \sqrt{2\pi}} \exp\left[-\frac{1}{2} \left(\frac{\ln(v)-B}{A}\right)^2\right]$	نرمال لگاریتمی [۵,۳]
β عامل شکل و $\alpha = 1/\Gamma(1+1/\beta)$ عامل اندازه است Γ تابع گاما می‌باشد	$f(v) = \frac{\beta}{\alpha^\beta} v^{\beta-1} \exp\left[-\left(\frac{v}{\alpha}\right)^\beta\right]$	ویبل [۶]
ab^2 و ab میانگین و واریانس توزیع، Γ تابع گاما و v حجم نرماله شده است	$f(v) = \frac{v^{a-1}}{b^a \Gamma(a)} \exp\left(-\frac{v}{a}\right)$	گاما [۵]
با داده‌های تجربی تطبیق خوبی ندارد. r قطر معادل نرماله شده است	$f(r) = (2e)^2 \frac{2r}{(2-r)^4} \exp\left(-\frac{4}{2-r}\right)$	هیلت [۷]
همان تابع ویبل با $\beta = 2$ است، به گونه‌ای که $\kappa = (\Gamma(1+1/\beta))^2$ $\frac{8}{3\sqrt{\pi}} \kappa^{5/2}$ از 2κ استفاده می‌شود	$f(v) = 2\kappa v \exp(-\kappa v^2)$	لوت [۷]، یا ریلی [۸]

جدول ۲ ارتباط بین $\langle V_N \rangle$ و CV_N با CV_v و عوامل توابع توزیع در رابطه‌های مختلف

تابع ویبل ^{*۱}	تابع لگاریتمی ^{*۲} [۵]	تابع گاما ^{*۳} [۵]
$\langle V_v \rangle = 2\alpha \frac{\Gamma(2/\beta)}{\Gamma(1/\beta)}$	$\langle V_N \rangle = \frac{\langle V_v \rangle^3}{\langle V_v^2 \rangle}$	$\langle V_N \rangle = 2\langle V_v \rangle - \frac{\langle V_v^2 \rangle}{\langle V_v \rangle}$
$CV_v = \sqrt{\frac{3}{4} \frac{\Gamma(1/\beta)\Gamma(3/\beta)}{\Gamma^2(2/\beta)} - 1}$	$CV_N = CV_v$	$CV_N = \frac{CV_v}{\sqrt{1-CV_v^2}}$
$\langle V_N \rangle = \frac{\alpha}{\beta} \Gamma(1/\beta)$	$A = \sqrt{\ln(1+CV_N^2)}$	$a = \frac{1}{CV_N^2}$
$CV_N = \sqrt{2\beta \frac{\Gamma(2/\beta)}{\Gamma^2(1/\beta)} - 1}$	$B = \ln\langle V_N \rangle - 0.5A^2$	$b = \frac{\langle V_N \rangle}{a}$

*۱ در سه رابطه، به جای حجم نرماله شده (v) از حجم (V) استفاده شده است.

*۲ رابطه‌های تابع ویبل به وسیله‌ی نویسنده‌ی مقاله بدست آمده است. α و β از دو معادله‌ی اول و رابطه‌های (۲) و (۳) بدست می‌آید.

$$\langle V_v^2 \rangle = 4\pi k \langle a^3 \rangle = \langle V_v \rangle^2 (1 + CV_v^2) *۳$$

جهانی گازها، Q_{gb} انرژی فعال‌سازی جابجا‌یی مرز و
دما بر حسب کلوین است.

که در آن، $M_0 = b^2 D_0 / kT$ ، D_0 ثابت نفوذ، k ثابت بولتزمن، R ثابت برگرس، T دما بر حسب کلوین است.

می‌شود. پس از آن، توزیع حجمی دانه‌ها با بررسی عکس‌های متوالی به دست می‌آید.

در این کار تحقیقی، از چهار روش جنسن-گاندرسن، شبیه‌سازی سه بعدی مونت‌کارلو، مدل ابراز-لوك و مقطع زنی متوالی برای بررسی توزیع اندازه‌ی دانه حین فرایند رشد دانه در سه فولاد زنگ نزن آستینیتی نوع H ۳۰۴، L ۳۱۶ و ۳۲۱ استفاده شده است. هدف به دست آوردن یک روش ساده و در عین حال دقیق برای تخمین حجم متوسط و توزیع حجمی دانه‌های در حال رشد بوده است. محاسبه‌ی توزیع حجمی دانه‌ها به عنوان ابزاری برای تشخیص وقوع رشد غیرعادی دانه‌ها حین فرایند تاب‌کاری به کار می‌رود. رشد غیرعادی دانه‌ها در نتیجه‌ی وجود رسوب‌های بسیار ریز بر روی مرzedانه‌ها و یا در نتیجه‌ی تبلور مجدد به وقوع می‌پیوندد.

روش تحقیق

ترکیب شیمیایی سه نوع فولاد زنگ نزن آستینیتی، AISI ۳۰۴H، L ۳۱۶ و ۳۲۱ در جدول (۴) آمده است. به منظور بررسی رشد طبیعی دانه، دو نوع فولاد اول در دمای 1200°C به مدت زمان ۵، ۱۰ و ۱۵ دقیقه تاب-کاری شدند. در فولاد ۳۲۱ حدود 0.8% درصد تیتانیم وجود دارد که می‌تواند در محدوده دمایی 1250°C - 1100°C با تشکیل نیترید تیتانیم حرکت مرز دانه‌ها را مشکل کرده و باعث رشد غیرعادی دانه‌ها شود [۱۸]. بنابراین، دمای تاب‌کاری این فولاد به 1300°C افزایش داده شد. بعد از فرایند تاب‌کاری، سطح مقطع نمونه‌ها متالوگرافی شده و ریزساختار آن‌ها به وسیله‌ی حکاکی الکتروولیتی در محلول اشباع اسید نیتریک، آشکار شد. سپس برای ارزیابی توزیع حجمی دانه‌ها، مقطع زنی متوالی انجام شد و با سه روش دیگر ذکر شده در مقدمه مقایسه شد.

در رابطه‌ی (۴)، $P_{i,j}$ نیروی محرکه برای رشد دانه‌ای به شعاع R_i در مقابل دانه‌هایی به شعاع R_j می‌باشد، به طوری که اگر مثبت باشد دانه‌هایی به شعاع R_i رشد می‌کنند و اگر منفی باشد، این دانه‌ها کوچک‌تر می‌شوند. افزون بر این، S_i احتمال برخورد دانه‌های متعلق به گروه‌های مختلف می‌باشد که با سطح دانه‌ها در ارتباط است، یعنی:

$$S_i = \frac{n_j \cdot 4\pi R_j^2}{\sum_j n_j \cdot 4\pi R_j^3} = \frac{n_j \cdot R_j^2}{\sum_j n_j \cdot R_j^2} \quad (4)$$

رابطه‌ی (۴) در هر گام زمانی برای همه‌ی شعاع‌های R_i موجود به کار می‌رود تا این‌که توزیع اندازه‌ی دانه (با فرض توزیع حجمی دانه‌ها، $V_i = \frac{4\pi}{3} R_i^3$) حین تاب‌کاری به دست آید. داده‌های مورد نیاز برای مدل‌سازی در جدول (۳) دیده می‌شوند [۱۴, ۱۷].

جدول ۳ تحرک‌پذیری، انرژی فعال‌سازی نفوذ مرزدانه‌ای و انرژی سطحی برای سه فولاد مورد استفاده

γ (mJ/m ²)	Q_{gb} (kJ/mol)	M_o (m ⁴ /J.s)	نوع فولاد
۳۰	۱۷۸	1×10^{-5}	304H [۱۴, ۱۵]
۷۸	۱۶۹	3×10^{-6}	316L [۱۴-۱۶]
۵۲	۱۷۲	5×10^{-7}	321 [۱۷]

نتایج توزیع حجمی دانه‌ها که با استفاده از سه روش فوق به دست می‌آیند، می‌باید با یک روش استاندارد و دقیق مقایسه شوند. روش مقطع زدن متوالی [۴] برای این منظور به کار رفت. در این روش سطح مقطع نمونه متالوگرافی شده و از آن عکس گرفته می‌شود. سپس از سطح نمونه به میزان ۱ درصد از اندازه‌ی بزرگ‌ترین دانه لایه‌برداری شده و پس از متالوگرافی مجدد، از آن عکس‌برداری می‌شود. این کار تا عمقی به میزان دو برابر قطر بزرگ‌ترین دانه انجام

جدول ۵ مقادیر $\bar{D}_{int} = \frac{1}{1.68} \left(\frac{6}{\pi} \langle V_v \rangle \right)^{1/3}$ و CV_v که به‌کمک رابطه‌های (۲) و (۳) برای فولادهای مختلف محاسبه شده‌اند

۳۲۱	۳۱۶L	۳۰۴H	شرایط تابکاری	
۸	۷/۳	۷	\bar{D}_{int} (μm)	قبل از تابکاری
۰/۳۲	۰/۴۹	۰/۳۵	CV_v	۵ دقیقه بعد از تابکاری
۴۵	۴۲/۸	۲۶/۸	\bar{D}_{int} (μm)	۱۰ دقیقه بعد از تابکاری
۰/۵۲	۰/۴۲	۱/۱	CV_v	۱۵ دقیقه بعد از تابکاری
۷۲	۵۸	۴۳/۴	\bar{D}_{int} (μm)	
۰/۷۲	۰/۵۶	۱/۹	CV_v	
۸۲	۷۰	۵۵	\bar{D}_{int} (μm)	
۰/۴۴	۰/۴۷	۱/۷	CV_v	

جدول ۴ ترکیب شیمیایی سه نوع فولاد زنگ نزن آستینیتی به کار رفته در این تحقیق (درصد وزنی)

۳۲۱	۳۱۶L	۳۰۴H	عنصر
۰/۰۶۶	۰/۰۲۶	۰/۰۸۳	C
۱۷/۴	۱۷/۶	۱۹/۲	Cr
۹/۷۵	۱۰/۹	۸/۱۶	Ni
<۰/۰۵	۱/۸۸	۱/۵۴۲	Mo
۰/۵۹۶	۰/۳۶۶	۰/۳۳۵	Si
۱/۶۵	۱/۹۴	۱/۸۸	Mn
۰/۷۸۶	۰/۰۷۹	۰/۰۸۲	Ti
۰/۰۱۹	۰/۰۴۵	۰/۰۲۱	P
<۰/۰۳	<۰/۰۳	<۰/۰۳	S

همان‌گونه که مشاهده می‌شود، ضریب انحراف حجمی در نمونه‌های ۳۱۶L و ۳۲۱ کمتر از یک (حدود ۰/۸ - ۰/۴) و در نمونه‌های ۳۰۴H بزرگ‌تر از یک است، و این به معنای پراکندگی زیاد در اندازه‌ی دانه‌ها در این فولاد است.

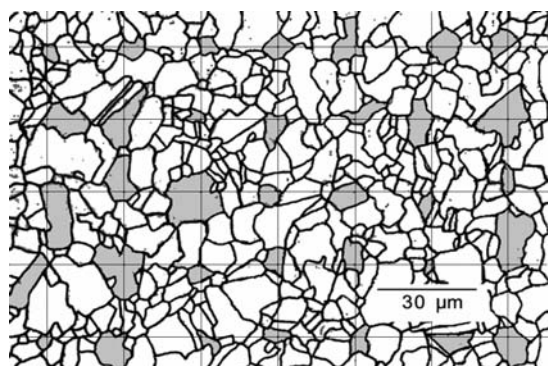
نتایج بررسی توزیع حجمی نمونه‌ها که به‌روش مقطع‌زنی متوالی به‌دست آمده است، در شکل (۲) مشاهده می‌شود. تابع‌های توزیع در این نمودارها نیز رسم شده‌اند. عوامل این تابع‌ها از روش حداقل مجموع مربعات (Least square method) به‌دست آمده‌اند.

در شکل (۲) نیز دیده می‌شود که توزیع حجمی دانه‌ها بر تابع توزیع نرمال لگاریتمی و تابع گاما نسبتاً منطبق است، و بنابراین می‌تواند به‌وسیله‌ی هر دو تابع توصیف شود. در این صورت، اگر توزیع حجم بر حسب حجم نرماله شده ($V_N = V_N / \langle V_N \rangle$) رسم شود، عوامل تابع توزیع گاما برابر خواهد بود با: $a = 0.4$, $b = 0.15 \sim 0.4$, و عوامل تابع توزیع نرمال لگاریتمی نیز برابر با $A = 0.4 \sim 0.7$ و $B = 0.08$ به‌دست خواهد آمد ($\langle V_N \rangle = 1$, $CV_N = 0.4$).

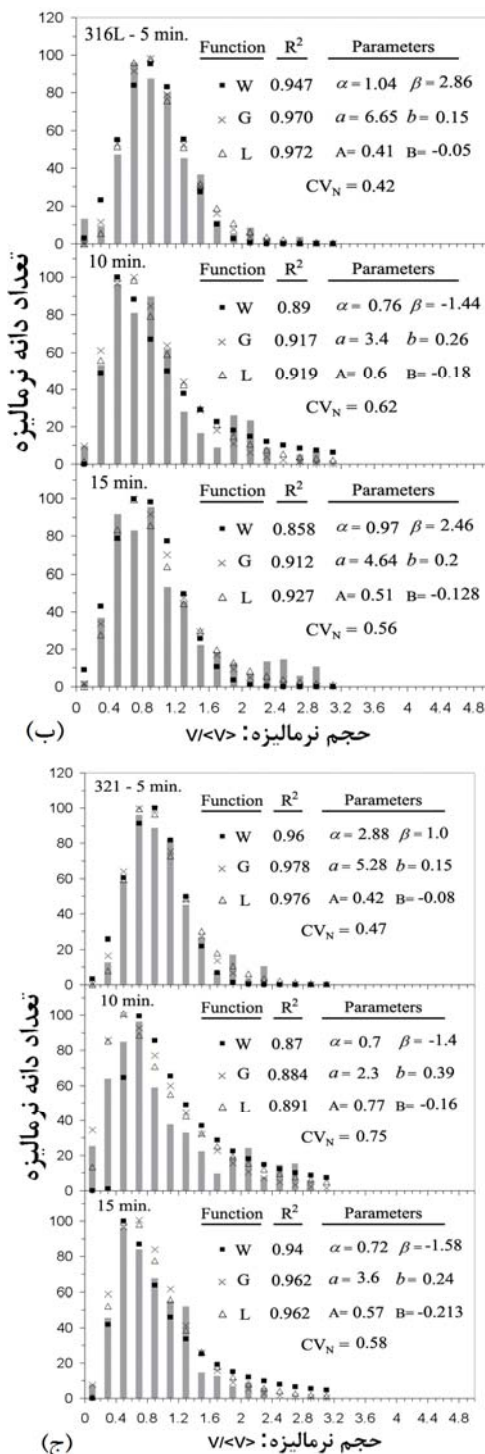
برنامه‌ی روش سه بعدی مونت‌کارلو برای رشد

نتایج و بحث

در شکل (۱)، ریزساختار اولیه‌ی فولاد زنگ نزن آستینیتی ۳۱۶L قبل از فرایند تابکاری نشان داده شده است. در اینجا، مقادیر $\langle V_v \rangle$ و CV_v به‌کمک رابطه‌های (۲) و (۳) محاسبه شده‌اند. قطر متوسط معادل دانه‌ها با فرض کروی بودن آن‌ها از رابطه‌ی $\bar{D}_v = \left(\frac{6}{\pi} \langle V_v \rangle \right)^{1/3}$ و قطر معادل مطابق روش تقاطع از رابطه‌ی $\bar{D}_{int} = \bar{D}_v / 1.68$ [۱۹] محاسبه می‌شود. به همین روش مقادیر \bar{D}_{int} و CV_v برای همه‌ی ریزساختارها به‌دست آمد، و نتایج در جدول (۵) نشان داده شده‌اند.

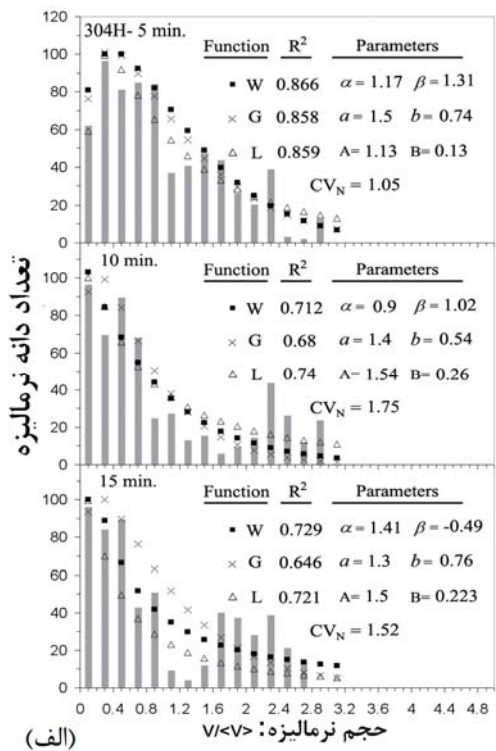


شکل ۱ ریزساختار اولیه‌ی فولاد ۳۱۶L که به‌کمک رابطه‌های (۲) و (۳) به‌دست آمده است؛ $\langle V_v \rangle = 624 \mu\text{m}^3$ و $CV_v = 0.49$



شکل ۲ نتایج بررسی توزیع حجمی نمونه‌ها به روش مقطع‌زنی متواالی (نمودار میله‌ای) و مقایسه‌ی آنها با تابع‌های توزیع در سه فرلاud مورد آزمایش؛ (الف): ۳۰۴H؛ (ب): ۳۱۶L؛ (پ): ۳۰۴H-۵min. W: تابع ویئل، G: تابع گاما، و L: تابع نرمال لگاریتمی

دانه نیز نوشته شد. در این برنامه، یک شبکه‌ی ۲۰۰×۲۰۰ پیکسلی (هر پیکسل برابر با پنج میکرومتر) با $Q=4000$ (تعداد جهت‌گیری تصادفی در شبکه) در نظر گرفته شد. همسایه‌های درجه اول انتخاب شدند (۲۶ همسایه)، و برنامه تا حالت مونت کارلوی (MCS) برابر با ۱۵۰۰ (هر حالت به اندازه‌ی ۲۰۰×۲۰۰ انتخاب نقطه) ادامه یافت. هر مرحله سه بار تکرار شد تا این‌که خطای آماری کاهش یابد. برنامه در محیط نرم‌افزار متلب (MATLAB) به‌شکل کد موازی نوشته شد و با استفاده از رایانه‌ی مناسب در مرکز محاسبات پیشرفته‌ی دانشگاه صنعتی اصفهان اجرا شد. ریزساختار به‌دست آمده بعد از اجرای ۸۰۰ حالت (D_{int} ≈ ۸۰ μm)، در شکل (۳) نشان داده شده است. ضریب انحراف حجمی در روش مونت کارلو بعد از اجرای ۶۰۰ حالت، به‌سمت مقدار متوسط ۰/۵۲ میل می‌کند. در شکل (۴-الف و ب)، توزیع حجمی دانه‌های حاصل از روش مونت کارلو و مدل ابراز-لوک با تابع‌های توزیع مقایسه شده‌اند.



دانه به شکل زیر ارائه شده است [۲۰, ۲۱]:

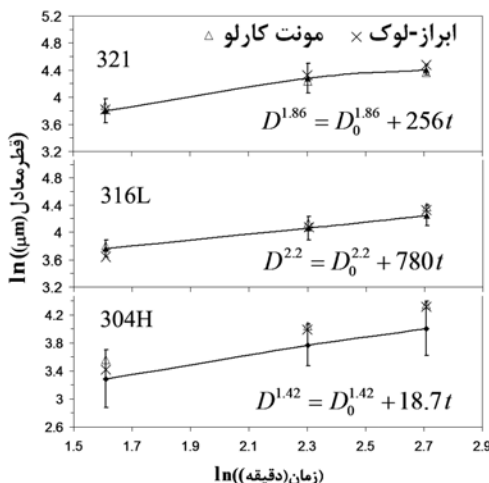
$$D^n = D_0^n + kt, \quad n \in (1-6) \quad (7)$$

که در آن، n ثابت ماده و k عامل وابسته به دما می‌باشد. شکل ۵ کاربرد رابطه‌ی فوق را برای سه فولاد مورد مطالعه نشان می‌دهد. برای هر فولاد و با فرض حاکم بودن توزیع نرمال لگاریتمی، انحراف معیار لگاریتم حجم ($A = \sigma_V$) از مقادیر جدول (۵) و رابطه‌های جدول (۲) به دست آمده‌اند. اگر حجم دارای توزیع نرمال لگاریتمی باشد، قطر معادل نیز توزیع نرمال لگاریتمی دارد، اما انحراف معیار لگاریتم قطر معادل برابر با $\frac{1}{3}\sigma_V$ خواهد بود [۲۲]. در این صورت، لگاریتم قطر معادل در روش تقاطع به همراه انحراف معیار برابر است با:

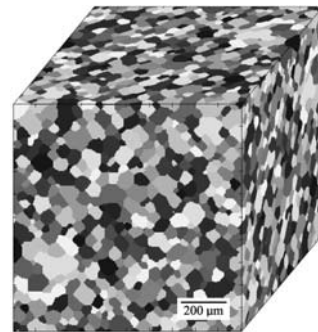
$$\ln(\bar{D}_{int}) \pm \frac{1}{3}\sigma_V = \ln(\bar{D}_{int} \times \exp(\pm\frac{1}{3}\sigma_V)) \quad (8)$$

$$\approx \ln(\bar{D}_{int}(1 \pm \frac{1}{3}\sigma_V))$$

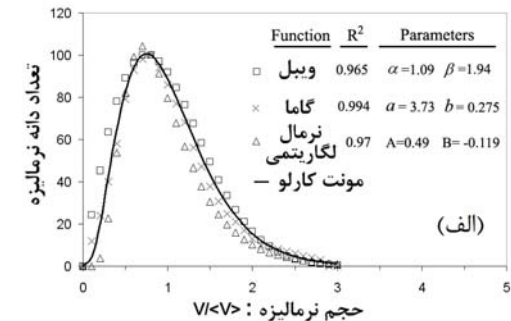
این معادله پس از اعمال تقریب $e^x \approx 1+x$ به ازای مقادیر کوچک X به دست آمده است. بنابراین، $\frac{1}{3}\sigma_V$ انحراف معیار قطر معادل \bar{D}_{int} می‌باشد که در عبارت خطأ در شکل (۵) وارد شده است. به منظور مقایسه، مقادیر اندازه دانه‌ی پیش‌بینی شده با استفاده از روش مونت‌کارلو و مدل ابراز-لوک در شکل (۵) آورده شده‌اند.



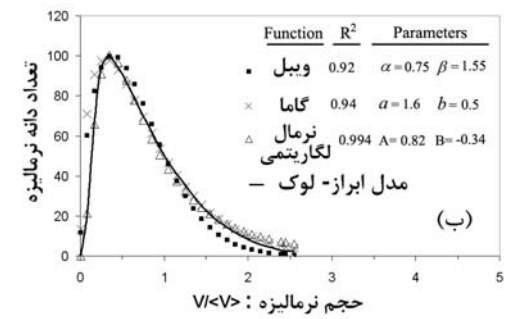
شکل ۵ رشد دانه‌ی حین تابکاری برای سه فولاد و مقایسه‌ی آن با روش مونت‌کارلو و مدل ابراز-لوک



شکل ۳ ریزساختار شبیه‌سازی شده به‌وسیله‌ی روش مونت‌کارلو بعد از اجرای ۸۰۰ حالت ($D_{int} \approx 80 \mu\text{m}$)



(الف)



(ب)

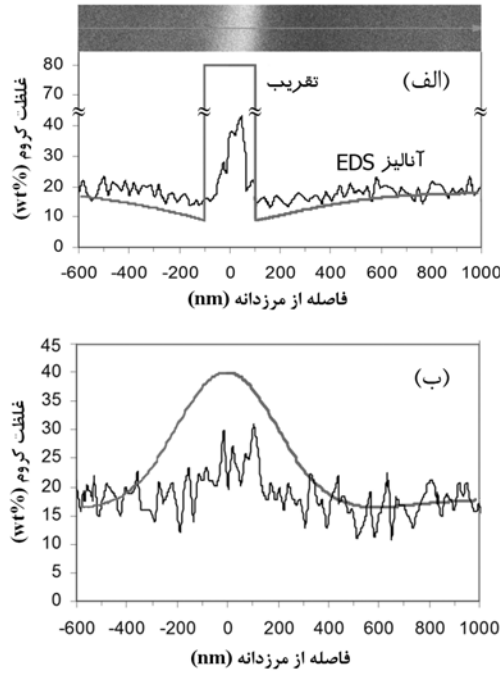
شکل ۴ نتایج توزیع حجمی دانه‌ها در دو روش شبیه‌سازی مونت‌کارلو (الف)، و مدل ابراز-لوک (ب) و مقایسه‌ی آن‌ها با تابع‌های توزیع

مقدار CV_N در مدل ابراز-لوک برابر با ۰/۹۶ تخمین زده شد که در مقایسه با مقدار تجربی آن در نمونه‌های ۳۱۶L و ۳۲۱، از حد بالایی بزرگ‌تر است. بنابراین، تخمین درستی از توزیع اندازه دانه به دست نخواهد آمد. افزون بر این، در شکل (۴) دیده می‌شود که روش مونت‌کارلو بر توزیع گاما و مدل ابراز-لوک بر توزیع نرمال لگاریتمی منطبق است.

نکته‌ی دیگری را که می‌توان در مورد مدل‌های فوق بررسی کرد، کیتیک رشد دانه است. رابطه‌ی رشد

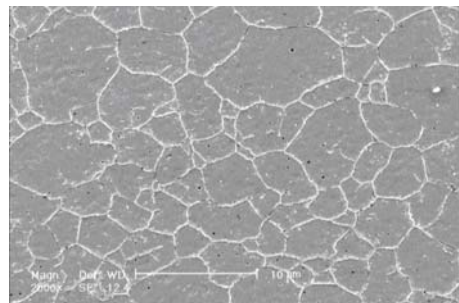
کرم در فصل مشترک کاربید/ زمینه (قبل از انحلال کاربید) و در میان دانه هستند. این معادله، با فرض این‌که جامد نیمه بینهایت است، غلظت کروم (C_x) را در فاصله‌ی X از فصل مشترک به دست می‌دهد.

با بررسی ترکیب شیمیایی با استفاده از روش طیف‌سنجی توزیع انرژی (EDS) در میکروسکپ الکترونی روبشی مقادیر $C_i \approx 18\%$ ، $C_{\text{bulk}} \approx 9\%$ و $C_x = 13\%$ به ازای $x = 200 \text{ nm}$ به دست آمدند. افزون بر این، غلظت کرم در ذرات کاربید $M_{23}C_6$ برابر با $75\text{--}85$ درصد وزنی (80% درصد به‌طور میانگین) است [25,26]، و ضخامت لایه‌ی کاربید تقریباً 200 nm می‌باشد (شکل ۷-الف). البته چون قطر پرتوی الکترونی در حدود 500 nm بود، تعیین ترکیب شیمیایی در مجاورت کاربید دقیق زیادی ندارد، اما الگوی کلی با نمودار غلظت مربوط به معادله‌ی (۹) یکی است.



شکل ۷ نمودارهای غلظت کرم در فولاد $H304$ به دست آمده با اندازه‌گیری‌های SEM-EDS؛ (الف): نمونه‌ی اولیه، (ب): پس از پنج دقیقه تاب کاری در دمای 1200°C به همراه تخمین‌های ارائه شده

همان‌گونه که مشاهده می‌شود، رفتار رشد دانه در هر سه فولاد از رابطه‌ی (۷) پیروی می‌کند. تُرانس اندازه دانه در مورد فولاد $H304$ ، $\text{CV}_v > 1$ ، زیاد است. افزون بر این، هر دو روش مونت‌کارلو و مدل ابراز-لوك اندازه دانه‌ی بزرگ‌تری را در این فولاد حین تاب کاری پیش‌بینی می‌کند. برای یافتن دلیل این رفتار، نمونه‌ی اولیه از این فولاد مورد بررسی قرار گرفت. ریزساختار اولیه‌ی این فولاد در شکل (۶) مشاهده می‌شود. حضور کاربیدهای کرم در مرزدانه‌ها کاملاً مشخص است.



شکل ۶ ریزساختار اولیه‌ی فولاد $H304$ بعد از حکاکی در اسید اگرالیک. کاربیدهای کرم بر روی مرز دانه‌ها حضور دارند

این کاربیدها در دمای تاب کاری (1200°C) به سرعت حل می‌شوند، اما جدایش کرم تحرک‌پذیری مرز را با سازوکار پس زدن عنصر محلول (Solute) کاهش می‌دهد. از آنجا که انرژی جدایش و ضریب نفوذ کرم در این فولاد بسیار کم می‌باشد (به ترتیب $1 \text{ cm}^2/\text{s}$ و 10^{-10} kJ/mol [23]), فرایند همگن‌سازی در آن کند بوده و جدایش تا مدت زمان زیادی وجود دارد.

تغییر غلظت کرم در راستای عمود بر مرز دانه را می‌توان به صورت زیر تخمین زد [24]:

$$C_x = C_i + (C_{\text{bulk}} - C_i) \operatorname{erf}\left(\frac{x}{2\sqrt{Dt}}\right) \quad (9)$$

در این رابطه، C_i و C_{bulk} به ترتیب غلظت‌های

تاب کاری t ، برابر با $s^{-1} \cdot 1000 = 0.005$ به دست آمد.

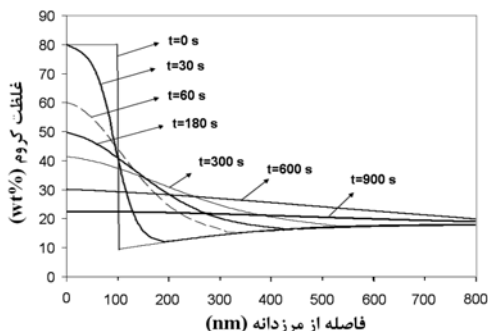
با فرض عدم تأثیر عناصر محلول بر روی یکدیگر، نشان داده شده است که اگر غلظت عنصر محلول در مرز دانه به اندازه ΔC بیش از زمینه باشد، عنصر محلول با سازوکار کشش (Solute drag effect) تحرک مرز را به اندازه ΔM کاهش می‌دهد. ΔM از معادله خطی زیر به دست می‌آید [28]:

$$\frac{\Delta M}{\Delta C} = -\Gamma \quad (12)$$

در این رابطه، Γ ثابت وابسته به اندازه دانه و انرژی جدایش است، $M_t - M_\infty$ و $\Delta M = M_t - M_\infty$ و $\Delta C = C_t - C_{\text{bulk}}$ می‌باشند. بنابراین، رابطه تحرک مرز با زمان تاب کاری را می‌توان با استفاده از روابط زیر نوشت:

$$M_t = M_\infty (1 - p \exp(-kt)) \quad (13)$$

که در آن، $p = (C_{\text{Carbide}} - C_{\text{bulk}}) \Gamma / M_\infty$ و M_∞ تحرک مرز دانه بدون تأثیر جدایش است. $M_\infty = 5.76 \times 10^{-11} \text{ m}^4/\text{J.s}$ به کمک معادله (5)، برابر با به دست آمد.



شکل ۸ نمودار تغییرات غلظت کرم در فولاد H_{304} در زمان‌های مختلف تاب کاری که از حل عددی معادله نفوذ فیک بهروش اختلاف محدود به دست آمده است.

با در نظر گرفتن نمودار شکل (۸)، می‌توان فرض کرد که جدایش کرم در زمینه پس از ۱۵ دقیقه آنچنان کم شود که در نتیجه‌ی آن تحرک مرز دانه به $M_\infty = 99.0\%$ برسد. با این فرض، مقدار p برابر با

با جایگذاری علظت‌های فوق در معادله (۹)، نمودار غلظت کرم در نمونه قبل از عملیات تاب کاری به دست می‌آید (مربوط به زمان صفر در شکل (۸))، و این شرایط اولیه را برای حل عددی مسئله مشخص می‌کند. از معادله دوم نفوذ فیک و روش حل اختلاف محدود برای یافتن نمودارهای غلظت کرم در زمان‌های مختلف تاب کاری در دمای 1200°C استفاده شد (شکل (۸)). دو شرط مرزی برای حل عددی مسئله لازم است. یک شرط از این فرض که نمودار غلظت کرم در دو طرف مرز متقاض است، به دست آمد، و برای شرط دوم، با توجه به شکل (۷-الف)، فرض شد که غلظت کرم در فاصله 1000 نانومتری برابر با غلظت کرم درون زمینه باشد. به این ترتیب، معادله زیر برای غلظت کرم به وسیله روش اختلاف محدود حل شد:

$$\begin{aligned} \frac{\partial C}{\partial t} &= D_{\text{Cr}} \frac{\partial^2 C}{\partial x^2}, \quad D_{\text{Cr}}(1200^\circ\text{C}) \approx 0.1 \text{ nm}^2/\text{s} \\ C(x \leq 100, t=0) &= 0.8 \\ C(x > 100, t=0) &= 0.09(1 + \text{erf}((x-100)/480)) \\ \left. \frac{\partial C}{\partial x} \right|_{(x=0,t)} &= 0, \quad C(1000, t) = 0.18 \end{aligned} \quad (10)$$

در شکل (۷-ب)، نتیجه‌ی این روش با نتایج تجربی حاصل از بررسی طیف‌سنجی توزیع انرژی برای نمونه‌ای که ۵ دقیقه تاب کاری شده است، مقایسه شده است. با این تقریب‌زنی، غلظت کرم در مرزدانه ($C_{(x=0,t)}$) در زمان‌های مختلف تاب کاری به دست آمد، و نتیجه با دقیق خوبی با معادله زیر تطابق داشت:

$$C_t = C_{\text{bulk}} + (C_{\text{Carbide}} - C_{\text{bulk}}) \exp(-kt) \quad (11)$$

که در آن، C_{Carbide} غلظت کرم در کاری بود می‌باشد که برابر با 80 درصد فرض شده است [26]. این رابطه مشابه با معادله همگن‌سازی فوریه است [27]. مقدار k با رسم نمودار تغییرات

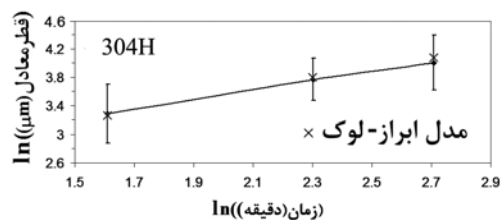
۲- نتایج توزیع حجمی دانه‌ها در روش مقطع‌زنی متواالی با در نظر گرفتن حجم نرماله شده بر تابع توزیع نرمال لگاریتمی با مقادیر $A = 0.4 \sim 0.7$ و $B = -0.245 \sim -0.08$ ، و نیز بر تابع گاما با مقادیر $a = 2.6$ و $b = 0.15 \sim 0.4$ منطبق است.

۳- توزیع حجمی در روش مونت‌کارلو بر توزیع گاما با $CV_N \sim 0.52$ ، و در مدل ابراز-لوک بر توزیع نرمال لگاریتمی با $CV_N \sim 0.96$ منطبق است. بنابراین، روش اخیر تخمین درستی از توزیع اندازه دانه به دست نمی‌دهد.

۴- با تخمین غلط کرم در فصل مشترک زمینه و کاربید کرم در زمان‌های مختلف تابکاری در فولاد $H30$ از نوع حساس شده، یک رابطه‌ی زمانی برای تحرک مرز دانه به دست آمد.

۵- با تخمین ضریب انحراف حجمی (CV_v) به روش جنسن و گاندرسن با استفاده از یک مقطع متالوگرافی و فرض برقراری توزیع نرمال لگاریتمی و یافتن انحراف معیار حجمی ($\sigma_v = \sqrt{\ln(1+CV_v^2)}$)، انحراف معیار قطر معادل در روش تقاطع را می‌توان از رابطه‌ی $\frac{1}{3}\sigma_v$ به دست آورد.

به دست می‌آید. در شکل (۹)، نتایج کاربرد این رابطه برای تحرک مرز دانه در مدل ابراز-لوک (به جای M در معادله‌ی (۴)) به منظور پیش‌بینی اندازه دانه‌ی میانگین در فولاد $H30$ مشاهده می‌شود. با مقایسه‌ی این نتایج با نتایج در شکل (۵)، دیده می‌شود که تطبیق بین این دو سری نتایج تجربی بسیار بهتر شده است.



شکل ۹ مقایسه‌ی رشد دانه حین فرایند تابکاری در فولاد $H30$ با نتایج به دست آمده از مدل ابراز-لوک، با کاربرد معادله‌ی (۱۳) برای تحرک مرز دانه

نتیجه‌گیری

۱- ضریب انحراف توزیع حجمی (CV_v) حین فرایند رشد معمولی دانه در فولادهای زنگ نزن آستینیتی نوع L316 و ۳۲۱ و $40/8$ به دست آمد، در حالی که این مقدار در فولاد $H30$ با رشد غیرعادی دانه بزرگ‌تر از یک بود.

مراجع

1. Kuck, D., Niewielski, G., and Cwajna, J., "Influence of Deformation Parameters and Initial Grain Size on the Microstructure of Austenitic Steels after Hot-Working Processes", *Mat. Characterization*, 56, pp. 318–324, (2006).
2. El Wahabi, M., Gavard, L., Montheillet, F., Cabrera, J. M., and Prado, J. M., "Effect of Initial Grain Size on Dynamic Recrystallization in High Purity Austenitic Stainless Steels", *Acta Materialia*, 53, pp. 4605–4612, (2005).
3. Yin, F., Sakurai, A., and Song, X., "Determination of Spatial Grain Size with the Area-Weighted Grain Area Distribution of the Planar Sections in Polycrystalline Materials", *Metall. Mater. Trans. A*, 37, p. 3707, (2006).
4. Rhines, F.N., Craig, K.R., and Rousse, D.A., "Measurement of Average Grain Volume and Certain Topological Parameters by Serial Section Analysis", *Metall. Trans. A*, 7, pp. 1729–1734, (1976).

5. Yu, H., Liu, G., and Song, X., "On the Relation between the Number-Weighted and Volume-Weighted Grain Volume Distribution Parameters", *Metall. Mater. Trans. A*, 29, p. 3081, (1998).
6. Wang, C., and Liu, G., "Grain Size Distribution Obtained from Monte Carlo Simulation and the Analytical Mean Field Model", *ISIJ Int.*, 43, pp. 774–776, (2003).
7. Sun, Y., Liu, G., and Wang, C., "On the Grain Size Distributions Obtained from Different Grain Growth Simulation Techniques", *J. Mat. Sci.*, 39, pp. 2553–2556, (2004).
8. Gusak, A. M., and Tu, K. N., "Theory of Normal Grain Growth in Normalized Size Space", *Acta Materialia*, 51, pp. 3895–3904, (2003).
9. Liu, G., and Yu, H., "On the Sampling of Serial Sectioning Technique for Three Dimensional Space-Filling Grain Structures", *Image Anal Stereol*, 19, pp. 81–84, (2000).
10. Kurzydtowski, K.J., and Bucki, J.J., "A Method for Grain Size and Grain Size Uniformity Estimation- Application to Polycrystalline", *Scripta Metall.*, 27, pp. 117–120, (1992).
11. Matsuura, K., Itoh, Y., Kudoh, M., Ohmi, T., and Ishii, K., 'Three-Dimensional Grain Size Distribution in SUS304 Stainless Steel", *ISIJ Int.*, 34, pp. 186–190, (1994).
12. Abbruzzese, G., and Lucke, K., *Acta Metall.*, 34, p. 905, (1986).
13. Schino, A. D., and Kenny, J. M., "Modeling Primary Recrystallization and Grain Growth in a Low Nickel Austenitic Stainless Steel", *J. Mat. Sci.*, 36, pp. 593–601, (2001).
14. Schino, A. D., Kenny, J. M., and Abbruzzese, G., "Analysis of the Recrystallization and Grain Growth Processes in AISI 316L Stainless Steel", *J. Mat. Sci.*, 37, pp. 5291–98, (2002).
15. Schramm, R. E., and Reed, R.P., "Stacking Fault Energies of Seven Commercial Austenitic Stainless Steels", *Metall. Trans. A*, 6, pp. 1345–1351, (1975).
16. Robert, A. V., "Grain Boundary Diffusion and Free Energy During the Recrystallization of type 316L Stainless Steel", *Mater. Sci. and Eng.*, 66, pp. 97–105, (1984).
17. Daruvala, H. S., and Bube, K. R., "Tracer Diffusion of Chromium in 321 Stainless Steel", *J. Nuclear Materials*, 87, pp. 211–213, (1979).
18. Tamura, I., Sekine, H., Tanaka, T., and Ouchi, C., "Thermomechanical Processing of High Strength Low Alloy Steels", Butterworths-Heinemann, London, (1988).
19. Dehghan-Manshadi, A., Barnett, M. R., and Hodgson, P. D., "Recrystallization in AISI 304 Austenitic Stainless Steel during and after Hot Deformation", *Mater. Sci. Eng. A*, 485, p. 664, (2008).
20. Wejrzanowski, T., Batorski, K., and Kurzydyowski, K .J., "Grain Growth Modelling: 3D and 2D Correlation", *Mat. Characterization*, 56, pp. 336–339, (2006).
21. Matsuura, K., and Itoh, A. Y., "Analysis of the Effect of Grain Size Distribution on Grain Growth by Computer Simulation", *ISIJ Int.*, 31, pp. 366–371, (1991).

22. Thorvaldsen, A., "The Intercept Method-1. Evaluation of Grain Shape", *Acta Mater.*, 45, pp. 587–594, (1997).
23. Stewart, G. R., and Jonas, J. J., "Static and Dynamic Strain Aging at High Temperatures in 304 Stainless Steel", *ISIJ Int.*, 44, pp. 1263–1272, (2004).
24. Tekin, A., Martin, J. W., and Senior, B. A., "Grain Boundary Sensitization and Desensitization during the Aging of 316L(N) Austenitic Stainless Steels", *J. Mat. Sci.*, 26, pp. 2458–2466, (1991).
25. Sourmail, T., Too, C. H., and Bhadeshia, H. K. D. H., "Sensitisation and Evolution of Chromium-depleted Zones in Fe–Cr–Ni–C Systems", *ISIJ Int.*, 43, pp. 1814–1820, (2003).
26. Too, C. H., "Sensitization of Austenitic Stainless Steels", PhD Thesis, University of Cambridge, Department of Material Science and Metallurgy, Pembroke Street, Cambridge CB2 3QZ, August (2002).
27. Porter, D. A., and Easterling, K. E., "Phase Transformations in Metals and Alloys", 2nd ed., CRC Press, New York, (1992).
28. Dillon, S. J., Behera, S. K., and Harmer, M. P., "An Experimentally Quantifiable Solute Drag Factor", *Acta Materialia*, 56, pp. 1374–1379, (2008).